

МОСКОВСКИЙ ГОСУДАРСТВЕННЫЙ УНИВЕРСИТЕТ
имени М.В. ЛОМОНОСОВА

Физический факультет
Кафедра квантовой статистики и теории поля

Курсовая работа
Решение задачи трассировки пучка заряженных частиц в магнитном поле.

Выполнил студент
группы: 205
Болонкин Егор Владиславович

Научный руководитель:
профессор Перепёлкин Е. Е.

Москва

2024

1. Аннотация

В данной работе рассмотрено движение пучка релятивистских частиц в электромагнитном поле - магнитном поле создаваемом конфигурацией соленоидов. Решена задача о нахождении поля соленоида в любой точке некоторой области пространства , а также найдены траектории движения в данном поле каждой частицы из пучка. Результатом работы является компьютерная программа , способная произвести трассировку пучка электронов в магнитном поле , создаваемом соленоидами.

Содержание

- 1. Аннотация**
- 2. Введение**
- 3. Моделирование поля в соленоиде**
- 4. Постановка задачи**
- 5. Моделирование движения пучка частиц в магнитном поле**
- 6. Заключение**
- 7. Список литературы**
- 8. Приложение**

2. Введение

Магнитное поле (или магнитная индукция) — это векторное поле, которое оказывает силу на движущиеся заряженные частицы. Источниками магнитного поля могут быть постоянные магниты, электрические токи и изменяющиеся электрические поля. Когда заряженная частица движется в магнитном поле, на неё действует сила Лоренца.

В релятивистском случае выражение для силы Лоренца остаётся тем же, но энергия и импульс частицы уже не связаны классическим образом.

Изучение движения релятивистских частиц в магнитных полях имеет важные применения в физике элементарных частиц, астрофизике и инженерии. Например, в ускорителях частиц, таких как Большой адронный коллайдер (LHC), сильные магнитные поля используются для управления траекториями высокоэнергетичных частиц.

Взаимодействие множества релятивистских частиц в магнитных полях усложняет динамику системы, так как необходимо учитывать не только взаимодействие каждой частицы с магнитным полем, но и взаимодействие частиц между собой.

Коллективные эффекты

В многочастичных системах коллективные эффекты могут существенно влиять на динамику. Примеры таких эффектов включают:

Плазма: В плазме, состоящей из большого числа заряженных частиц, взаимодействие между частицами (в первую очередь электростатическое) играет важную роль. Плазма в магнитном поле демонстрирует сложное поведение, включая явления, такие как магнитогидродинамическая неустойчивость и альвеновские волны.

Взаимодействие частиц: Взаимодействие между частицами может приводить к рассеянию, что изменяет их траектории и энергию. В релятивистских плазмах такие взаимодействия могут включать кулоновское рассеяние и обмен фотонами.

В ускорителях частиц и астрофизических объектах часто встречаются релятивистские пучки частиц. Пучки частиц, движущиеся в одном направлении с высокой скоростью, могут иметь свои собственные коллективные эффекты и взаимодействия:

Электронные пучки: Релятивистские электронные пучки, движущиеся в магнитных полях, используются для генерации синхротронного излучения. Взаимодействие между электронами в пучке может вызывать такие явления, как пространственный заряд и пучковые неустойчивости.

Таким образом, исследование многочастичных систем в магнитных полях является важным направлением в современной физике, которое сочетает теоретические исследования, численные модели и экспериментальные данные для понимания сложных взаимодействий в природе и технике.

3. Моделирование поля в соленоиде.

В качестве модели для соленоида было решено взять конечный цилиндрический слой ,считая , что провода обмотки плотно прилегают друг к другу и их толщина много меньше толщины слоя , также считалось что J везде одинаков .

Для расчёта поля , создаваемого объёмными токами в точке μ , воспользуемся формулой Био-Савара-Лапласа :

$$\vec{H}(\mu) = \frac{1}{4\pi} \int_V \frac{[\vec{J}, \vec{r}_{\mu p}]}{r_{\mu p}^3} dV$$

Если посчитать это векторное произведение и потом перейти в цилиндрическую систему координат , то получатся следующие выражения для компонент поля:

$$\begin{aligned} H_r(P) &= \frac{J}{4\pi} \sum_{j=1}^2 \sum_{k=1}^2 (-1)^{j+k} \cdot H_{c_r}(R_j, Z_k, \phi_{PC}) \\ H_t(P) &= \frac{J}{4\pi} \sum_{j=1}^2 \sum_{k=1}^2 (-1)^{j+k} \cdot H_{c_t}(R_j, Z_k, \phi_{PC}) \\ H_z(P) &= \frac{J}{4\pi} \sum_{j=1}^2 \sum_{k=1}^2 (-1)^{j+k} \cdot H_{c_z}(R_j, Z_k, \phi_{PC}) \end{aligned} \quad (1)$$

где выражения для H_{c_r} , H_{c_t} , H_{c_z} имеют вид:

$$\begin{aligned} H_{c_r}(R_j, Z_k, \phi_{PC},) &= \int_{-\phi_{PC}}^{2\pi-\phi_{PC}} \cos \psi \cdot \sqrt{R_{PC}^2 - 2R_{PC}R_j \cos(\psi) + R_j^2 + Z_k^2} d\psi + \\ &+ \int_{-\phi_{PC}}^{2\pi-\phi_{PC}} R_{PC} \cos^2(\psi) \cdot \ln \left((R_j - R_{PC} \cos(\psi)) + \sqrt{R_{PC}^2 - 2R_{PC}R_j \cos(\psi) + R_j^2 + Z_k^2} \right) d\psi \end{aligned}$$

$$\begin{aligned}
H_{C_t}(R_j, Z_k, \phi_{PC}) &= \int_{-\phi_{PC}}^{2\pi-\phi_{PC}} \sin(\psi) \cdot \sqrt{R_{PC}^2 - 2R_{PC}R_j \cos(\psi) + R_j^2 + Z_k^2} d\psi + \\
&+ \int_{-\phi_{PC}}^{2\pi-\phi_{PC}} R_{PC} \cos(\psi) \sin(\psi) \cdot \ln \left((R_j - R_{PC} \cos(\psi)) + \sqrt{R_{PC}^2 - 2R_{PC}R_j \cos(\psi) + R_j^2 + Z_k^2} \right) d\psi \\
\\
H_{C_z}(R_j, Z_k, \phi_{PC}) &= \int_{-\phi_{PC}}^{2\pi-\phi_{PC}} -Z_k \cdot \ln \left[(R_j - R_{PC} \cos(\psi)) + \sqrt{R_{PC}^2 - 2R_{PC}R_j \cos(\psi) + R_j^2 + Z_k^2} \right] d\psi + \\
&+ \int_{-\phi_{PC}}^{2\pi-\phi_{PC}} -R_{PC} \cos(\psi) \cdot \ln \left(-Z_k + \sqrt{R_{PC}^2 - 2R_{PC}R_j \cos(\psi) + R_j^2 + Z_k^2} \right) d\psi + \\
&+ \int_{-\phi_{PC}}^{2\pi-\phi_{PC}} R_{PC} \sin(\psi) \cdot \arctg \left(\frac{Z_k (R_j - R_{PC} \cos(\psi))}{R_{PC} \sin(\psi) \sqrt{R_{PC}^2 - 2R_{PC}R_j \cos(\psi) + R_j^2 + Z_k^2}} \right) d\psi
\end{aligned}$$

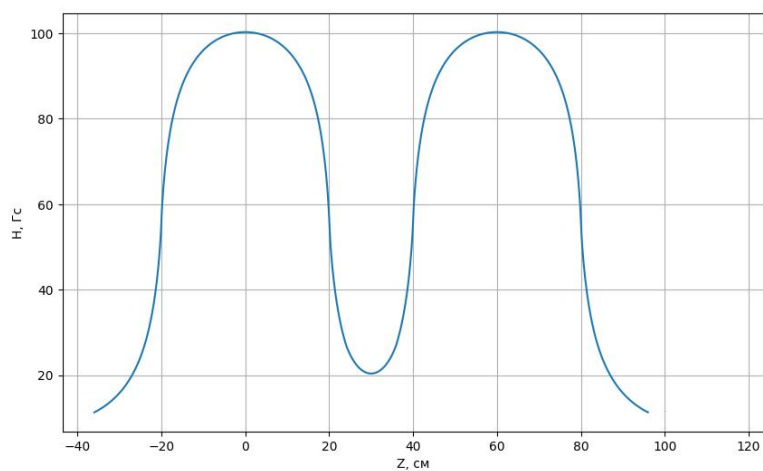
R_{PC} , Z_{PC} , ϕ_{PC} - координата точки , в которой мы измеряем поле

$$R_1 = R_C - a; \quad R_2 = R_C + a; \quad Z_1 = Z_{PC} + b \quad Z_2 = Z_{PC} - b$$

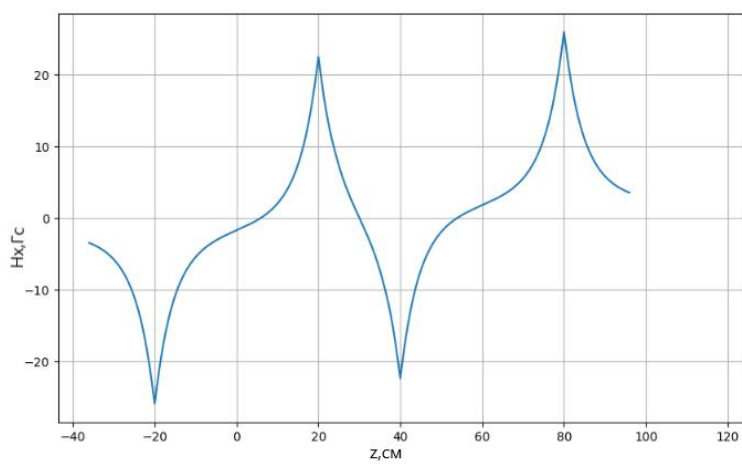
$2a$ - толщина соленоида $2b$ - длинна соленоида , R_C - a и $R_C + a$ радиусы внешней и внутренней поверхностей. R_C - радиус центра обмотки

Численно рассчитав интеграл можно получить поле в любой точке пространства , исключая , быть может , обмотки соленоида .

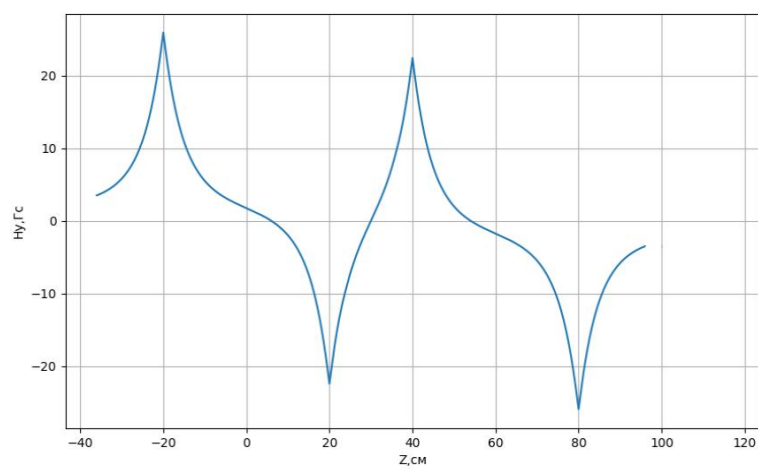
В данном случае расчёт проводился с помощью численного интегрирования . Вот графики зависимости проекций поля от координаты по оси z системы соленоидов поля на радиусе пуска пучка при угле $\phi_{PC} = -\pi/4$:



а) График зависимости $H_z(z)$.



б) График зависимости $H_x(z)$.



с) График зависимости $H_y(z)$.

4. Постановка задачи.

Для описания движения пучка релятивистских частиц в магнитном поле , составим уравнение движения . Запишем 2-ой Закон Ньютона в импульсной форме :

$$\frac{d\vec{p}}{dt} = \vec{F}$$

Запишем выражение для импульса релятивистской частицы

$$\vec{p} = m\gamma\vec{v}$$

,где Лоренц-фактор

$$\gamma \equiv \frac{1}{\sqrt{1 - \frac{v^2}{c^2}}}$$

Подставляя выражение для импульса в уравнение движения ,получаем следующее векторное дифференциальное уравнение

$$\frac{d\vec{p}}{dt} = m\gamma \frac{d\vec{v}}{dt} + m \frac{d\gamma}{dt} \vec{v}$$

Вычислим соответствующие производные и получим , что

$$\frac{d\vec{p}}{dt} = \frac{m \frac{d\vec{v}}{dt} \sqrt{1 - \frac{v^2}{c^2}} - m\vec{v} \frac{1}{2\sqrt{1 - \frac{v^2}{c^2}}} \left(-\frac{2v}{c^2}\right) \frac{dv}{dt}}{1 - \frac{v^2}{c^2}} \quad [1]$$

Заменим вектор ускорения как сумму тангенциальной и нормальной компонент

$$\vec{a} \equiv a_\tau \vec{\tau} + a_n \vec{n} \quad , \quad \vec{a} \equiv \frac{d\vec{v}}{dt}$$

Подставим её в выражение [1] и после упростим

$$\frac{d\vec{p}}{dt} = \frac{m(a_\tau \vec{\tau} + a_n \vec{n})}{\left(1 - \frac{v^2}{c^2}\right)^{\frac{1}{2}}} + \frac{m\vec{v}va_\tau}{c^2\left(1 - \frac{v^2}{c^2}\right)^{\frac{3}{2}}}$$

$$\vec{F} = \frac{ma_2\vec{\tau}}{\left(1 - \frac{v^2}{c^2}\right)^{\frac{3}{2}}} \left(1 - \frac{v^2}{c^2} + \frac{v^2}{c^2}\right) + \frac{ma_n\vec{n}}{\left(1 - \frac{v^2}{c^2}\right)^{\frac{1}{2}}}$$

Теперь разложим силу на тангенциальную и нормальную составляющие

$$F_n\vec{n} + F_\tau\vec{\tau} = \gamma^3 ma_\tau\vec{\tau} + \gamma ma_n\vec{n}$$

Для решения и моделирования задачи необходимо выразить ускорение в явном виде . Для этого приравняем соответствующие компоненты , тогда ускорение будет иметь вид:

$$\vec{a} = \frac{F_n}{\gamma m}\vec{n} + \frac{F_\tau}{\gamma^3 m}\vec{\tau}$$

Для удобства введём матрицу перехода от приведённой силы к ускорению :

$$G = \begin{pmatrix} \beta & 0 \\ 0 & \beta^3 \end{pmatrix}, \quad \beta = \frac{1}{\gamma}$$

Поскольку на частицу в магнитном поле действуют сила Лоренца и сила Кулона , вызываемая другими частицами пучка (различие по энергиям между частицами пучка мало), то 2-ой Закон Ньютона для j-ой частицы будет выглядеть следующим образом :

$$\ddot{\vec{x}}_j = G_j \cdot \vec{f}_j$$

,где приведённую силу и силу Кулона можно вычислить по формулам [2] и [3]

$$\vec{f}_j = \frac{q}{mc} \left[\dot{\vec{x}}_j, \vec{H}(\vec{x}_j) \right] + \frac{1}{m} \vec{F}_j \quad [2]$$

$$\vec{F}_j = \sum_{i \neq j} \frac{q_i q_j}{(r_{ij})^3} \vec{r}_{ij}, \quad \vec{r}_{ij} = \vec{x}_j - \vec{x}_i \quad [3]$$

Теперь составим задачу Коши для получившегося дифференциального уравнения 2-ого порядка, задав дополнительно начальное положение и начальную скорость j-ой частицы:

$$\begin{cases} \ddot{\vec{x}}_j = G_j \cdot \vec{f}_j \\ \vec{x}_j(t_0) = \vec{x}_j^0 \\ \dot{\vec{x}}_j(t_0) = \vec{v}_j^0 \end{cases}$$

Для решения данной задачи Коши использовались методы Рунге-Кутты различных порядков ⁽²⁾ из библиотеки Python scipy ⁽³⁾:

- RK23 : Явный метод Рунге-Кутты порядка 3(2). Этот метод использует пару формул Богацкого-Шампине ⁽⁴⁾. Ошибка контролируется, предполагая точность второго порядка метода, но шаги выполняются с использованием формулы третьего порядка точности (локальная экстраполяция). Для плотного вывода используется кубический полином Эрмита ⁽⁵⁾.
- RK45 : Явный метод Рунге-Кутты порядка 5(4). Для этого метода используется пара формул Дорманда-Принса ⁽⁶⁾. Ошибка контролируется с предположением точности метода четвёртого порядка, но шаги выполняются с использованием формулы пятого порядка точности (локальная экстраполяция). Для плотного вывода используется интерполяционный полином четвёртой степени DOP853 : Явный метод Рунге-Кутты восьмого порядка точности

Также был самостоятельно реализован метод Рунге-Кутты 4-ого порядка точности.

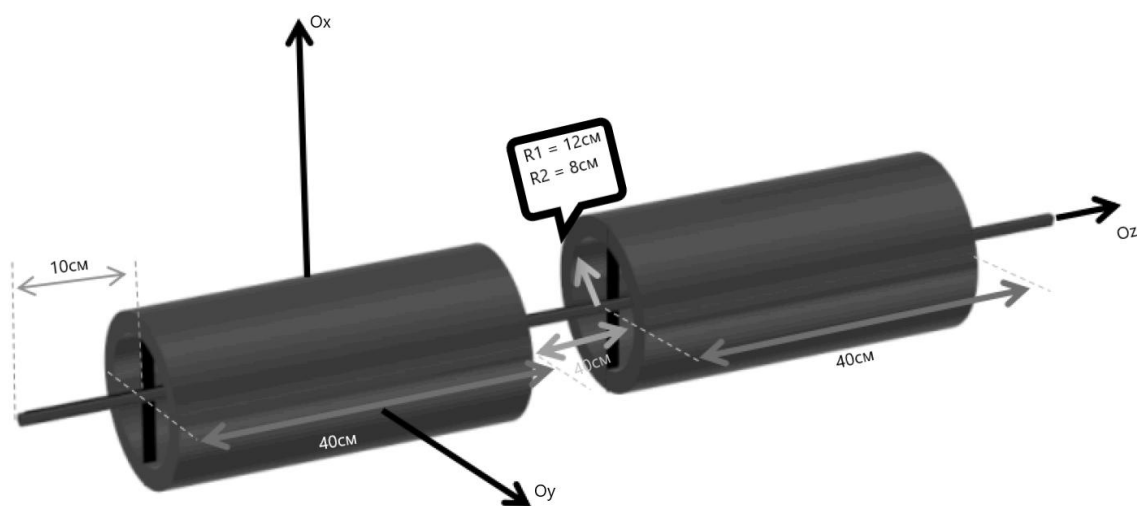
Для решения этими методами нужно переписать систему следующим образом :

$$\left\{ \begin{array}{l} \vec{v} = \frac{d\vec{x}}{dt} \\ \vec{a} = \frac{F_n}{\gamma m} \vec{n} + \frac{F_\tau}{\gamma^3 m} \vec{\tau} \\ \vec{v}(t_0) = \vec{v}_0 \\ \vec{x}(t_0) = \vec{x}_0 \end{array} \right.$$

Качественного различия между решениями с использованием каждого из методов не выявлено, единственное ,что методам большей точности нужно меньше шагов , но время работы сравнимо.

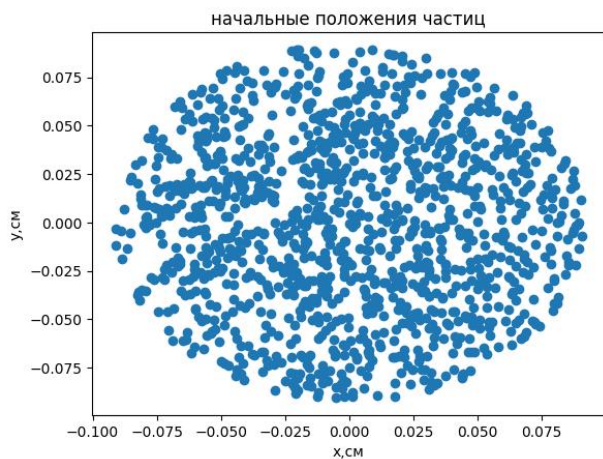
5. Моделирование задачи и результаты исследования.

В качестве установки для трассировки пучка электронов была выбрана конструкция из двух одинаковых цилиндрических соленоидов, находящихся на расстоянии 40 см, и на расстоянии 10 см от первого соленоида. Координата центра первого соленоида 0 см. Поле в центре $H = 92Gs$.



По его оси запускается пучок частиц (на рисунке это жирная линия по центру), заданных по нормальному распределению со средним 0 см и стандартным отклонением 0.091 см. Начальная энергия 480 кэВ, начальная скорость по оси z $v_z = 1.18e10$ см/с. В систему запускался C^{12}

Ниже приведены начальные поперечные поперечные характеристики частиц.

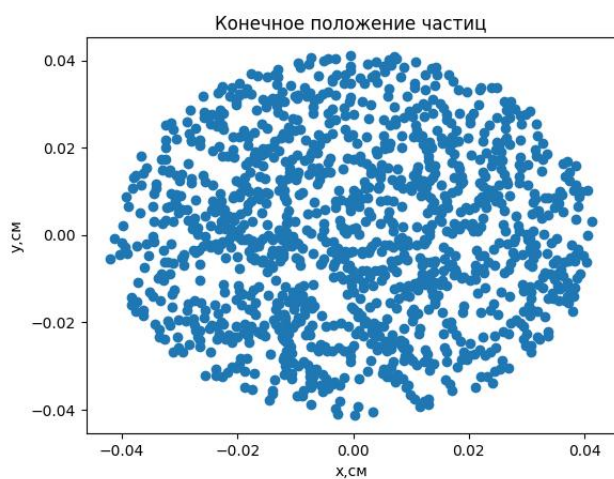


d) Начальные координаты в Oxy .



е) Начальные скорости в $Ov_x v_y$.

Ниже приведены результаты трассировки пучка в декартовых координатах

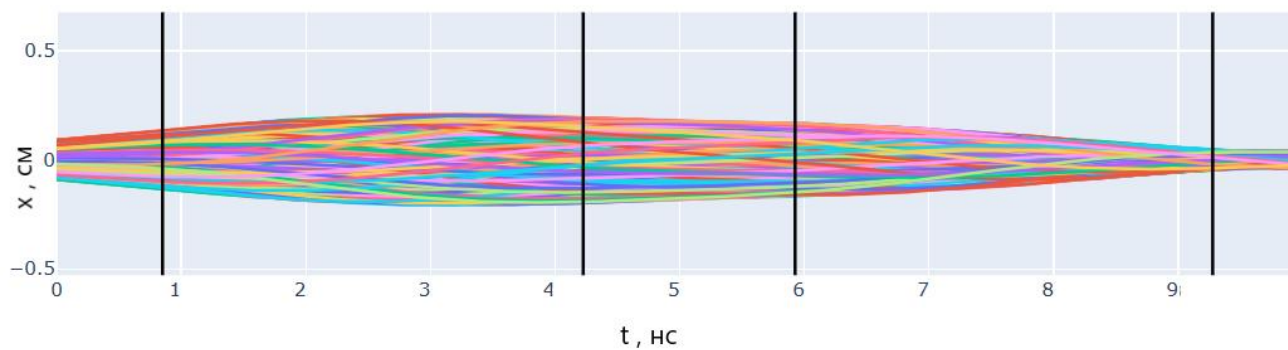


f) Конечные скорости частиц в Oxy .

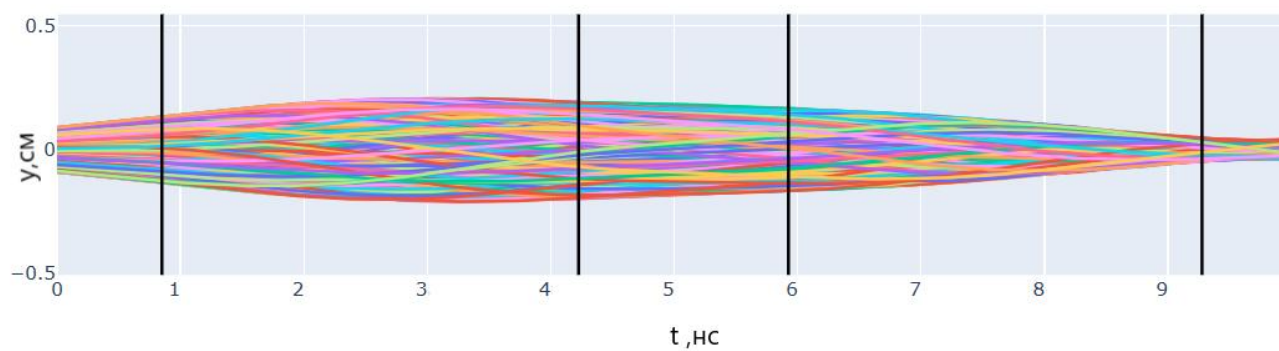


g) Конечные скорости частиц в $Ov_x v_y$.

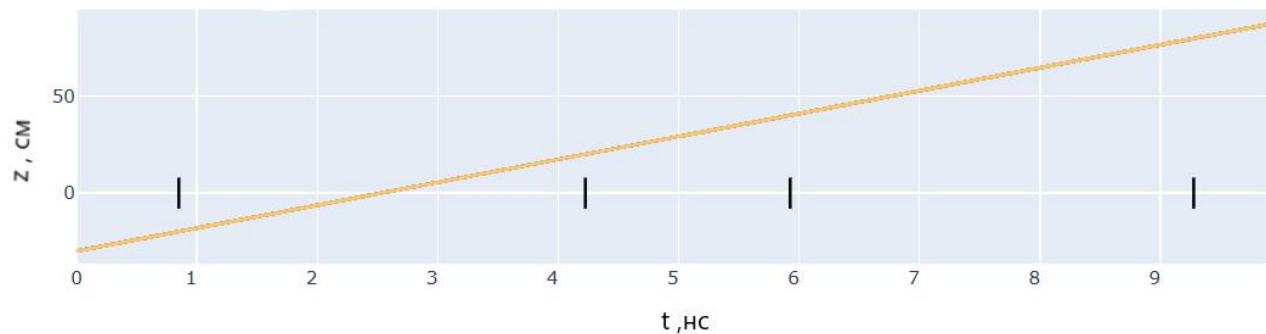
Каждому цвету соответствует отдельная частица, всего здесь 1250 частиц.



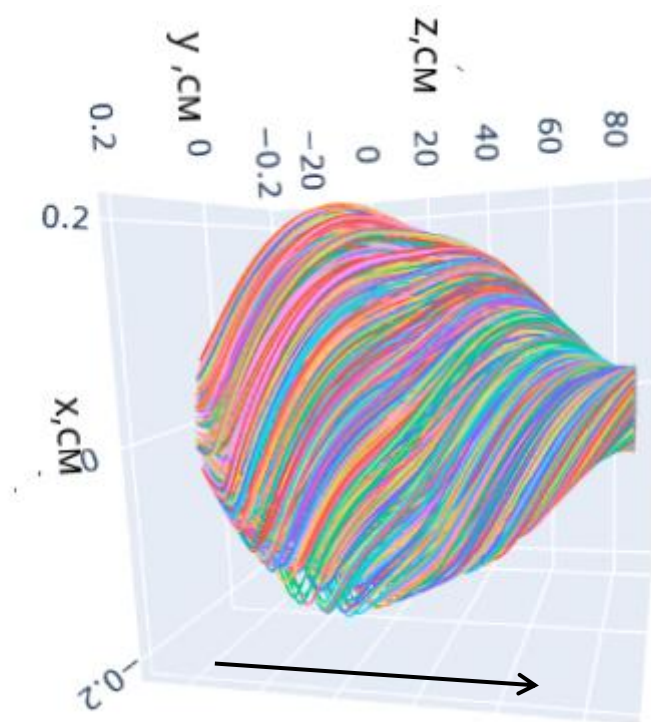
h) Проекция координаты частицы на ось X



i) Проекция координаты частицы на ось Y .



j) Проекция координаты на ось Z .



k) График траектории пучка частиц в трёхмерном пространстве .
Направление движения частиц вдоль стрелки .

6. Заключение.

В результате выполнения работы была решена задача о трассировки пучка частиц через систему соленоидов с использованием компьютерной модели . Результатами моделирования стали графики зависимости проекций координат от времени а также график траектории. В дальнейшем планируется ,используя методы для моделирования многочастичных систем , что должно значительно ускорить программу , а значит позволит проводить трассировку для большего числа частиц.

7. Список литературы.

- 1) IEEE TRANSACTIONS ON MAGNETICS, том 21, номер 6, ноябрь 1985 года.
- 2) Бахвалов Н. ., Жидков Н. ., Кобельков Г. . Численные методы. — М.: Лаборатория Базовых Знаний, 2001. — 630 с. — ISBN 5-93208-043-4. — С. 363—375.
- 3) <https://scipy.github.io/devdocs/>
- 4) Богацкий, Перемышлав, Шампайн, Лоуренс Ф. (1989), «Пара формул Рунге-Кутты 3(2)», Письма по прикладной математике, 2 (4): 321—325, doi:10.1016/0893-9659(89)90079-7, ISSN 0893-9659.
- 5) Роджерс Д., Адамс Дж. Математические основы машинной графики. — М.: Мир, 2001. — 604 с. — ISBN 5-03-002143-4.
- 6) Дорманд, Дж.Р.; Принс, Д. (1980). "Семейство встроенных формул Рунге-Кутты" . Журнал вычислительной и прикладной математики. 6 (1): 19—26. doi:10.1016/0771-050X(80)90013-3.

8. Приложение.

Ссылка на код :

[https://colab.research.google.com/drive/1GFlegtTJbYN7CpBvHyhXd0M9yh2RhYku?
usp=sharing](https://colab.research.google.com/drive/1GFlegtTJbYN7CpBvHyhXd0M9yh2RhYku?usp=sharing)

Код загружен на сайте Google Colab для его выполнения необходимо выполнить все ячейки результаты выполнения сохранены с предыдущего запуска , их можно посмотреть не выполняя код.